

## برآورد منحنی نگهداری آب خاک به روش رگرسیون و به کمک مدل گرانولت و گرنت

حسین بیات<sup>۱</sup>، گلناز ابراهیم زاده، ناصر دواتگر، علی اکبر صفری سنجانی و حمید زارع ابیانه

استادیار گروه خاک‌شناسی دانشگاه بوعالی سینا-همدان؛ h.bayat@basu.ac.ir

دانشجوی کارشناسی ارشد دانشگاه بوعالی سینا-همدان؛ ebrahimzade.golnaz@gmail.com

استادیار مؤسسه تحقیقات برج کشور؛ n\_davatgar@yahoo.com

استاد دانشگاه بوعالی سینا-همدان؛ aa-safari@basu.ac.ir

دانشیار دانشگاه بوعالی سینا-همدان؛ zareabyaneh@gmail.com

دریافت: 1391/6/19 و پذیرش: 1392/4/17

### چکیده

ویژگی‌های هیدرولیکی خاک برای مدلسازی حرکت آب و مواد در خاک مورد نیاز می‌باشد. به دلیل تغییرپذیری بالا و پیچیدگی خاک، به دست آوردن آنها به گونه مستقیم دشوار، زمان بر و هزینه بر است. توابع انتقالی برای برآورد منحنی نگهداری آب خاک (SWRC) با روش‌های گوناگونی از جمله روش‌های رگرسیونی (regression) ساخته شده‌اند. در این پژوهش توابع انتقالی برای برآورد پارامترهای SWRC مدل گرانولت و گرنت بکار رفته‌اند. برای این کار ۶۹ نمونه از خاک‌های استان گیلان گردآوری گردید. توزیع اندازه دانه‌های خاک و خاکدانه‌های ریز، SWRC و ویژگی‌های پایه خاک در آزمایشگاه اندازه‌گیری گردید. مدل‌های فراکتالی و غیرفراکتالی بر داده‌های توزیع اندازه دانه‌های خاک و خاکدانه‌های ریز برآشن شده و پارامترهای مدل گرانولت و گرنت روش رگرسیون خطی (linear regression) بکار گرفته شد. برای برآورد هر کدام از پارامترهای مدل گرانولت و گرنت چهار تابع انتقالی طراحی شد، به گونه‌ای که از پارامترهای مدل‌های توزیع اندازه دانه‌ها و خاکدانه‌های ریز همانند برآورد گردد. بهره‌گیری گردید. سپس SWRC با استفاده از پارامترهای برآورد شده محاسبه و با SWRC اندازه‌گیری شده مقایسه گردید. در مقایسه با دیگر برآوردهای، بهره‌گیری از پارامترهای فراکتالی توزیع اندازه دانه‌های خاک برآورده بہتری از SWRC را بدست داد. مدل فردهاند با پارامترهای بیشتری که دارد نتوانست دقیقی بیشتر و یا معادل با پارامترهای فراکتالی با تعداد کمتر در برآورد SWRC بدست دهد. شاید این یافته برتری تئوری فراکتالی در مدلسازی توزیع اندازه دانه‌ها و SWRC را نشان دهد.

**واژه‌های کلیدی:** پارامترهای فراکتالی، توزیع اندازه دانه‌های خاک، توزیع اندازه خاکدانه‌های ریز، مدل فردهاند،

### مقدمه

منافذ، تخلخل کل و رطوبت قابل بهره‌گیری خاک را نیز بیان می‌کند (خداوردیلو و همایی، ۱۳۸۱). معادلات گوناگونی برای بدست آوردن منحنی نگهداری آب خاک پیشنهاد شده‌اند که از آن گروه می‌توان مدل بروکس و کوری (1964)، گاردنر (1956)، ون کتوختن (1980) و

منحنی نگهداری آب خاک<sup>۲</sup> (SWRC) یکی از ویژگی‌های هیدرولیکی مهم خاک در حالت غیراشباع است. این ویژگی نه تنها رطوبت خاک در مکش‌های گوناگون را که در مدیریت آب خاک مهم است، نشان می‌دهد، بلکه ویژگی‌های دیگری مانند توزیع اندازه

<sup>۱</sup>نویسنده مسئول، آدرس: همدان، دانشگاه بوعالی سینا، همدان، دانشکده کشاورزی، گروه علوم خاک

<sup>2</sup> Soil water retention curve

(والکراک و همکاران، 2006) و پارامترهای فراكتالی (بیات و همکاران، 2011). به هر حال یافتن بهترین برآوردهای برای پیش‌بینی SWRC همچنان همانند یک چالش برای پژوهندگان بجا مانده است.

دلیل گزینش مدل گرانولت و گرن特 (2004) در

این پژوهش این است که یکی از دشواری هایی که در پیشتر مدل‌های پیشنهاد شده برای SWRC مانند مدل ون‌گنوختن (1980) دیده می‌شود، در این مدل دیده نمی‌شود. در پیشتر مدل‌ها این منحنی در پایانه خشک شدن محور مربوطه را قطع نمی‌کند و رطوبت خاک در هیچ مکشی به صفر نمی‌رسد. در سال 2004 گرانولت و گرن特 برای زدودن این دشواری، معادله ساده‌ای را برای برآوردهای منحنی مشخصه آب خاک پیشنهاد کردند. این مدل بر پایه این گمان است که اگر یک رابطه ریاضی بر هر دو پایانه خشک و تر SWRC برازش شود و پارامترهای برای درون‌یابی ریاضی بکارروند. پیشتر منحنی‌های رطوبتی خاک دست‌کم یک نقطه عطف دارند.

مطالعات اندکی در ارتباط با این مدل انجام شده است. فولادمند و هادی‌پور (2011) مدل گرنولت و گرن特 را برای خاک‌های استان فارس به کمک دو گروه از توابع انتقالی واسنجی کردند و درستی کاربرد این مدل را برای خاک‌های این استان پیشنهاد نمودند. در بررسی خلوصی و همکاران (2008) نیز مدل گرانولت و گرن特 درستی شایسته‌ای داشت، هر چند نسبت به برخی مدل‌ها درستی آن کمتر بود.

توزیع اندازه دانه‌ها<sup>5</sup> (PSD) بیشتر برای گروه‌بندی خاک‌ها بهره‌گیری می‌شود. به تازگی امکان شناخت توزیع اندازه منافذ و توزیع اندازه خاکدانه‌های ریز و دانه‌های خاک با برخی پارامترها مورد پژوهش قرار گرفته است (تیلر و ویت کرفت، 1992). از این فراسنجه‌ها همانند ابزاری شایسته برای کمی کردن ساختمان خاک، نفوذپذیری آب و فرسایش‌پذیری خاک بهره‌گیری نموده‌اند (اندرسون و همکاران، 1998). در پژوهش‌های اخیر از توزیع اندازه دانه‌های خاک همانند پایه‌ای برای برآوردهای دیگر ویژگی‌های خاک مانند منحنی نگهداری آب خاک بهره‌گیری نموده‌اند (گوپتا و لارسون، 1979؛ آریا و پاریس، 1981؛ هاورکمپ و پارلانگ، 1986). دیده شده است که منحنی نگهداری آب خاک دارای ریختی همانند با منحنی توزیع اندازه دانه‌ها می‌باشد (آریا و پاریس، 1981).

گرانولت و گرن特 (2004) را بیان کرد. به دست آوردن این منحنی به گونه مستقیم بسیار زمانبز و گران است. بنابراین بهره‌گیری از روش‌های غیرمستقیم در برآوردهای هیدرولیکی برتر است (رضایی و نیشابوری، 1378).

همراه با نیازهای فراوان به SWRC در کاربردهای گوناگون آن، تلاش‌های فراوانی برای بدست آوردن آن از داده‌های زودیافت از راه توابع انتقالی انجام شده است (شاه و همکاران، 1988). روش‌های گوناگونی برای ایجاد توابع انتقالی خاک وجود دارد. در ابتدا برای ایجاد توابع انتقالی از رگرسیون خطی استفاده می‌شد (گوپتا و لارسون، 1979). به تدریج رگرسیون غیر خطی جایگزین رگرسیون خطی شد (راولز و برکنسیک، 1985). رگرسیون خطی، رابطه خطی بین یک یا بیش از یک متغیر وابسته و یک پارامتر مستقل می‌باشد که میانگین مربعات خطأ را در دامنه وسیعی از مشاهدات در مجموعه داده‌ها کاهش می‌دهد (ترونتو و همکاران، 2006). رگرسیون خطی و غیر خطی در توابع انتقالی نقطه‌ای (وستن و همکاران، 2001) و پارامتریک برای تخمین خصوصیات هیدرولیکی مورد استفاده قرار می‌گیرند (میناسنی و همکاران، 1999). در تخمین پارامتریک، ابتدا پارامترهای مدل‌های هیدرولیکی مانند مدل ون‌گنوختن (1980) از طریق برازش به دست امده، سپس رابطه تجربی بین ویژگی‌های پایه‌ای خاک و پارامترهای مدل ایجاد می‌شود (میناسنی و همکاران، 1999).

تاکنون پارامترهای پرشماری برای برآوردهای منحنی‌های نگهداری آب خاک در توابع انتقالی بکار رفته‌اند که عبارتند از: بافت خاک، ماده‌آلی و جرم مخصوص ظاهری خاک (BD)<sup>1</sup> (گوپتا و لارسون، 1979)، کربن‌آلی، هدایت هیدرولیکی اشباع خاک (وریکن و همکاران، 1992)، اطلاعات ژنتیکی خاک (تیت جی و تاپکن هینریش، 1993)، تخلخل موثر (اسخاپ و همکاران، 1998)، ریخت شناسی و اندازه خاکدانه‌ها (کوکوک و بولتینک، 1999)، گنجایش تبادل کاتیونی (پاچپسکی و راولز، 1999)، میانگین هندسی قطر دانه‌ها<sup>2</sup> و انحراف استاندارد هندسی قطر دانه‌ها<sup>3</sup> (آنکارو و همکاران، 2005)، مقاومت فروروی (پاچپسکی و همکاران، 1998) ویژه (والکراک و همکاران، 2004)، سطح<sup>4</sup>

<sup>1</sup>. Bulk density

<sup>2</sup>. Geometric mean of particle diameter

<sup>3</sup>. Geometric standard deviation of particle diameter

<sup>4</sup>. Geometric surface area

<sup>5</sup>. Particle size distribution

و گرنت (2004) با فراسنجه‌های فراکتالی و غیر فراکتالی توزیع اندازه دانه‌ها و خاکدانه‌های ریز بررسی نشده است که در این پژوهش بررسی شده‌اند. در این بررسی از فراسنجه‌های مدل فراکتالی توزیع اندازه دانه‌ها و خاکدانه‌های ریز پریر و بیرد (2002 و 2003) و فراسنجه‌های مدل PSD فرلاند و همکاران (2000) برای پیش-بینی SWRC مدل گرانولت و گرنت (2004) بهره‌گیری شده است.

اهداف این پژوهش عبارت بودند از: 1- برآورد فراسنجه‌های مدل گرانولت و گرنت به کمک متغیرهای آسان خاک. 2- بررسی امکان بهبود برآورد فراسنجه‌های مدل گرانولت و گرنت به کمک فراسنجه‌های فراکتالی مدل پریر و بیرد (2002 و 2003) برای توزیع اندازه دانه‌ها و خاکدانه‌های ریز. 3- بررسی امکان بهبود برآورد فراسنجه‌های مدل گرانولت و گرنت به کمک فراسنجه‌های مدل PSD فرلاند و همکاران (2000).

#### نتوری

#### منحنی نگهداری آب خاک: مدل گرانولت و گرنت (2004)

در این مدل با پذیرش نقطه  $pF=0$  و  $pF=6/9$  همانند جایگاهی برای برآورد مقدار آب خاک در دو پایانه تر و خشک مقدار رطوبت در مکش‌های گوناگون از رابطه زیر بدست می‌آید.  $pF = \theta(\Delta pF) = K_1 \left\{ \exp\left(\frac{-K_0}{6.9^n}\right) - \exp\left(\frac{-K_0}{pF^n}\right) \right\}$

$K_0$  و  $n$  پارامترهای برازشی مدل گرانولت و گرنت و  $\theta$  نشان دهنده رطوبت حجمی خاک است. گرانولت و گرانت (2004) گزارش کردند که داشتن یا نداشتن مفهوم فیزیکی این پارامترها باید بررسی شود. منحنی برازش شده محور عرضی (میزان رطوبت) را به گونه عمودی قطع می‌کنده که بهره کاربردی آن بدین معنی است که رطوبت حجمی در مکش 1 سانتی‌متر (یعنی  $pF=0$ ) باید برابر با رطوبت اشباع باشد؛ یعنی در خاک منافذی با قطر بزرگتر از 3 میلی‌متر وجود ندارد. مدل‌های توزیع اندازه دانه‌ها و خاکدانه‌های ریز مدل پریر و بیرد (2002 و 2003)

برای بدست آوردن فراسنجه‌ها و بعد فراکتالی توزیع اندازه دانه‌ها و خاکدانه‌های ریز از مدل پریر و بیرد (2002 و 2003) بهره‌گیری شد که رابطه آن به گونه زیر است:

$$m(x \leq x_i) = (a^{D-3})(L^{D-3})(x_i)^{3-D} \quad (2)$$

بنابراین شاید فراسنجه‌های مدل‌های توزیع اندازه دانه‌ها برآوردگر خوبی برای SWRC باشند. در این راستا می‌توان مدل‌های توزیع اندازه دانه‌ها را به دو گروه کلی مدل‌های فراکتالی و مدل‌های غیر فراکتالی دسته بندی نمود (بیات و همکاران، 2011). از مدل‌های فراکتالی می‌توان مدل پریر و بیرد (پریر و بیرد، 2002 و 2003) و مدل تیلر و ویت کرفت (تیلر و ویت، 1992) و از مدل‌های غیر فراکتالی می‌توان مدل فرلاند (فرلاند و همکاران، 2000) و مدل ون‌گنوختن (هاورکمپ و پارلانگ، 1986) را یادآور شد.

در دو دهه گذشته هندسه فراکتالی همانند یک ابزاری سودمند برای توصیف توزیع اندازه دانه‌ها، ساختمان و ویژگی‌های هیدرولیکی خاک درآمده است (باوی و همکاران، 1998). تئوری فراکتالی توانایی مدل کردن ساختمان خاک (تیلر و ویت کرفت، 1990) و بافت خاک (یانگ و کروفورد، 1991) را داشته و استفاده مناسب از فراکتال‌ها به کمی کردن دقیق غیریکنواختی، اعوجاج و پیوستگی منافذ و ذرات جامد خاک با استفاده از برش‌های نازک و یا رابطه توانی اندازه-تعداد بدست آمده از فرایند خرد شدن، منجر می‌شود (یانگ و همکاران، 2001). همچنین فراکتال‌ها قادر به پیش‌بینی اثر هندسه پیچیده ساختمان خاک بر برخی فرایندهای خاک می‌باشند. کروفورد و همکاران (1993) اثر غیریکنواختی و پیوستگی منافذ را بر انتشار گازها مطالعه کردند. کاپرد تئوری فراکتالی شاید ابزار مناسب برای پر کردن فاصله میان استفاده از مدل‌های تجربی و تفسیر فیزیکی پارامترهای آنها باشد (هانگ و ژانگ، 2005).

به منظور توصیف خود تشابه‌ی در یک پدیده فیزیکی یا شیمیایی، از پارامتری بنام بعد فراکتالی استفاده می‌شود (محمدی و رئیسی گهروبی، 1382). وقتی با فراکتال خود تشابه سروکار داریم می‌توان یک رابطه توانی ساده بین ویژگی‌های مرتبط با ساختمان خاک (مانند طول، سطح، جرم و حجم) و مقیاس مشاهده‌ای و یا اندازه‌گیری جستجو کرد. یعنی اینکه طول، سطح، جرم و حجم اندازه‌گیری شده با تغییر مقیاس اندازه‌گیری تغییر می‌کند و مقادیر آنها با کوچک شدن مقیاس افزایش می‌یابد (بیرد و همکاران، 1996). بنابراین اگر پارامتری رفتار فراکتالی نشان دهد با در دست داشتن مقادیر آن در حداقل دو مقیاس می‌توان مقادیر آن در مقیاس‌های دیگر را پیش‌بینی کرد (میلان و اورلانا، 2001).

در برابر پژوهش‌های فراوانی که برای برآورد SWRC به کمک برآوردگرهای گوناگون انجام شده، تاکنون مقایسه قابلیت برآورد SWRC بویژه مدل گرانولت

دستنخورده به کمک سینلندرهای نمونهبرداری به بلندای 4/0 سانتیمتر و قطر 5/1 سانتیمتر انجام شدند.  
توزیع اندازه دانه‌ها در دامنه 0 تا 2 میلی‌متر به کمک ترکیب الک و هیدرومتر اندازه‌گیری گردید (گی و اور، 2002) که در زمان 24 ساعت 9 بار هیدرومتر خوانده شد، سپس دانه‌های خاک در دامنه‌های قطعی شن خیلی- ریز (0/05 تا 0/1 میلی‌متر)، شن ریز (0/1 تا 0/25 میلی‌متر)، شن میانه (0/25 تا 0/5 میلی‌متر)، شن درشت (0/5 تا 1 میلی‌متر) و شن خیلی درشت (1 تا 2 میلی‌متر) با روش الک خشک جداسازی شدند (گی و اور، 2002).  
توزیع اندازه خاکدانه‌های ریز در دامنه 0 تا 2 میلی‌متر به کمک روش الک تر و هیدرومتر اندازه‌گیری شد. روش انجام آن همانند توزیع اندازه دانه‌ها بود، با این ناهمانندی که از عامل جدا کننده و پخش کننده خاک بهره‌گیری نشد. در این روش، جداسازی خاکدانه‌های ریز در اندازه شن با الک تر انجام شد. جرم مخصوص ظاهری با روش استوانه‌های نمونهبرداری اندازه‌گیری شد (گروسمان و رینش، 2002).

برای بدست آوردن پارامترهای فراكتالی توزیع اندازه دانه‌ها و توزیع اندازه خاکدانه‌های ریز و پارامترهای مدل فردلاند و همکاران (2000) از نرم‌افزار DataFit استفاده شد. در این نرم‌افزار ابتدا هر کدام از مدل‌ها تعریف می‌شود. بدین ترتیب که قطر دانه‌های خاک و خاکدانه‌ها به عنوان متغیر مستقل و درصد تجمعی دانه‌های خاک و خاکدانه‌ها به عنوان متغیر وابسته تعریف می‌شود. سپس نرم‌افزار با استفاده از معادلات تعریف شده پارامترهای آنها را برآورد می‌کند.

برای بدست آوردن SWRC در مکش‌های کمتر از 10 kPa از جمعیه شن و در مکش‌های بالاتر از آن از دستگاه صفحات فشار<sup>1</sup> بهره‌گیری شد. مقدار رطوبت در مکش‌های 0, 1, 5, 10, 25, 50, 100, 200, 500, 1000 و 1500 kPa برای 69 نمونه برداشت شده اندازه‌گیری شد. اندازه‌گیری‌ها تا مکش 100 kPa بر روی نمونه‌های دستنخورده و بالاتر از آن بر روی نمونه‌های دست خورده انجام شد. سپس مدل گرانولت و گرن特 (2004) به کمک عملگر بهینه سازی Solver در نرم افزار Excel بر داده‌ها برآورد شده و فراستجه‌های آن بدست آمد. بدین ترتیب که لگاریتم مکش بر حسب سانتی‌متر به عنوان متغیر مستقل و مقادیر رطوبت حجمی در هر مکش به عنوان متغیر وابسته تعریف شد و مدل مربوطه در نرم افزار اکسل فرمول نویسی شد. برای تخمین پارامترهای مدل، ابتدا باید مقادیر اولیه‌ای برای آنها وارد شود، که این مقادیر اولیه

در رابطه فوق ( $x_i \leq m$ : جرم تجمعی یا درصد تجمعی دانه‌ها یا خاکدانه‌های ریز با قطر کوچکتر مساوی  $a_{xi}$ : نسبت همانندی،  $L$ : فراستجه مدل و  $D$ : بعد فراكتالی می‌باشد. نکته مهم این است که روابط جرم-اندازه در این مدل بر پایه فرض ثابت بودن جرم مخصوص ظاهري است.

### مدل فردلاند و همکاران (2000) برای توزیع اندازه دانه‌ها

توزیع اندازه دانه‌ها در این مدل با رابطه زیر مشخص می‌شود (فردلاند و همکاران، 2000):

$$P_p(d) = \frac{1}{\left\{ \ln \left[ \exp(1) + \left( \frac{a_{gr}}{d} \right)^{n_{gr}} \right]^{m_{gr}} \right\}^7} \quad (3)$$

در رابطه فوق  $P_p(d)$ : درصد جرمی ذرات کوچک‌تر از یک قطر معین،  $d$ : قطر دانه‌ها،  $a_{gr}$ : اولین نقطه شکست منحنی،  $n_{gr}$ : تندترین شب منحنی،  $m_{gr}$ : فراستجه شکل در بخش پایین منحنی،  $d_m$ : کوچکترین قطر مجاز دانه‌ها در مدل،  $d_{rgr}$ : قطر دانه‌های ریز را نشان می‌دهد (در اکثر موارد برابر 0/001 میلی‌متر در نظر گرفته می‌شود).

### مواد و روش‌ها

منطقه مورد مطالعه باغات چای شهرستان فومن از استان گیلان بود که در دامنه مختصات 53° - 50° 34' 48'' شرقی و 36° 34' - 38° 27'' شمالی قرار دارد (شکل 1). استان گیلان در ایران، شامل مناطق سرسبز شمال غربی رشته‌کوه البرز و بخش غربی کوه‌های جنوبی دریای خزر است. طبیعت گیلان، پوشیده از جنگل و دارای آب و هوای معتدل و مرطوب است. میانگین بارندگی در سطح استان حدود 1506 میلی‌متر در سال است. دما در استان گیلان، به سبب قرارگیری در بین ارتفاعات البرز و منبع رطوبتی دریای خزر و برخورداری از رژیم اقلیمی معتدل خزری حالت متعادلی دارد و نوسان دما بین شب و روز و بین زمستان و تابستان زیاد نیست. میانگین دمای سالانه استان در حدود 15/8 درجه سانتیگراد است. خاک‌های چای دارای میانگین pH برابر با 4/59 تا 5/9 با دامنه 3/73 می‌باشند. میانگین کربن آلی در این خاکها 2/24 درصد است (شیرین فکر، 1388).

در این پژوهش 69 نمونه از خاک‌های سطحی و زیر سطحی باغات چای شهرستان فومن استان گیلان به گونه دستنخورده و دستنخورده گردآوری شدند. بر پایه بررسی منابع انجام شده تاکنون منحنی مشخصه رطوبتی در باغات چای استان گیلان مورد مطالعه قرار نگرفته است. ژرفای نمونه‌برداری خاک سطحی و زیر سطحی بسته به ضخامت افق‌ها ناهمانند بوده و در هر افق از میان آن انجام شد. نمونه‌برداری دستنخورده به کمک آگر، و

<sup>1</sup> Pressure plate

معادله dog(clay) جرم مخصوص ظاهربا معادله cosBD، فراسنجه فراکتالی توزیع اندازه دانه‌ها (ap) با معادله  $ap^2 + 33/988ap - 14/151$ ، بعد فراکتالی توزیع اندازه دانه‌ها (Dp) با معادله  $Dp - 2Lp^2 + 34/169Lp - 14/235$  فراسنجه فراکتالی توزیع اندازه دانه‌ها (Lp) با معادله  $Lp^2 + 12/246Lp - 2/9618$ ، بعد فراکتالی توزیع اندازه خاکدانه‌های ریز (aa) با معادله  $aa^2 + 12/246aa - 2/9618$ ، بعد فراکتالی توزیع اندازه خاکدانه‌های ریز (Da) با معادله  $Da - 2La^2 + 12/068La - 1/3388ln(a_{gr}) - 2/9123La^2$  در مدل فردنلاند با معادله  $n_{gr} = 3/1851ln(n_{gr}) - K_1$  در مدل فردنلاند و همکاران با معادله  $dog(d_{gr}) - K_0/0.4862ln(K_1)$  مدل گرانولت و گرننت با معادله  $n = 0/4705ln(K_0) + 0/5363n$  در نهایت در معادله گرانولت و گراننت با معادله  $0/5363n$  نرمال شدن. سپس داده‌ها استاندارد شدند به گونه‌ای که همه متغیرها میانگین صفر و واریانس یک داشتند.

ساخت توابع با بهره‌گیری روش رگرسیون خطی انجام شده و چهارتابع انتقالی ساخته شد. در گام یکم برای ساخت تابع انتقالی نخست (PTF1)، ویژگی‌های پایه خاک یعنی رس، شن و جرم مخصوص ظاهربا همانند متغیرهای ورودی بهره‌گیری شده و فراسنجه‌های مدل گرانولت و گرننت برآورده شدند. به علت جلوگیری از بروز همراستایی از درصد سیلت به عنوان ورودی بهره‌گیری نشد.

برای ساخت تابع انتقالی دوم (PTF2)، فراسنجه‌های گام یکم و فراسنجه‌های فراکتالی توزیع اندازه دانه‌ها (ap, Dp و Lp) به عنوان برآورده بکار رفته.

متغیرهای ورودی تابع انتقالی سوم (PTF3) شامل فراسنجه‌های گام یکم و فراسنجه‌های فراکتالی توزیع اندازه خاکدانه‌های ریز (La, Da, aa) می‌باشند. در تابع انتقالی چهارم (PTF4) فراسنجه‌های گام یکم و فراسنجه‌های مدل PSD فردنلاند و همکاران ( $a_{gr}$ ) برای برآورد فراسنجه‌های مدل گرانولت و گرننت بکار رفته. چهار گام یادشده برای برآورده هر یک از فراسنجه‌های مدل گرانولت و گراننت تکرار شد. در پایان سه PTF1 (برای برآورده  $K_0$ ,  $K_1$  و  $n$ ), سه PTF2 (برای برآورده  $K_0$ ,  $K_1$  و  $n$ ), سه PTF3 و سه PTF4 ساخت شد. پس از برآورده فراسنجه‌های مدل گرانولت و گرننت در هر کدام از چهار گام بالا، از آنها برای به دست آوردن SWRC بهره‌گیری شد. برای نمونه از PTF1 های ساخته شده برای برآورده  $K_0$ ,  $K_1$  و  $n$  بهره‌گیری شد و SWRC به دست آمد. سپس این

به صورت میانگینی از مقادیر گزارش شده در منابع به دست آمد. این مقادیر در فرمول وارد شده و مجموع مربعات خطای مدل محاسبه شد. سپس بهینه ساز Solver مقادیر پارامترها را از طریق به حداقل رساندن مجموع مربعات خطای مدل آورد. یعنی بهینه ساز Solver آنقدر مقادیر پارامترها را تغییر می‌دهد تا کمترین مقدار مجموع مربعات خطای مدل به دست آید.

### گام‌های ساخت توابع

برای ساخت توابع انتقالی درصد رس، درصد شن، جرم مخصوص ظاهربا، فراسنجه‌های فراکتالی توزیع اندازه دانه‌ها و توزیع اندازه خاکدانه‌های ریز و فراسنجه‌های مدل فردنلاند و همکاران (2000) همانند متغیر مستقل و فراسنجه‌های متحجّنی نگهداری آب خاک مدل گرانولت و گرننت همانند متغیرهای وابسته بکار رفته. همه داده‌ها شامل متغیرهای مستقل و وابسته به گونه تصادفی به دو گروه دسته‌بندی شدند. یک سوم کل نمونه‌ها برای آزمون و دو سوم برای آموزش بهره‌گیری گردیدند. مقایسه میانگین (t-test) داده‌های آموزش و آزمون برای همه متغیرهای دروندادی و بروندادی مدل‌ها (توماسلا و همکاران، 2003) نشان داد که این دو گروه ناهمانندی جسم‌گیری باهم ندارند.

بسیاری از نظریه‌ها، استدلال‌ها، روش‌های آماری (مانند رگرسیون‌ها) و آزمون‌های آماری برپایه فرضیاتی مانند تصادفی بودن و نرمال بودن داده‌ها استوار هستند. در این رابطه لازم است که متغیرها بر پایه توزیع فراوانی نرمال استوار گردند. نرمال نبودن توزیع داده‌ها باعث ایجاد محدودیت در بکارگیری طیف وسیعی از روش‌های آماری می‌گردد، استفاده از میانگین به عنوان شاخص مرکزیت توزیع مورد شک و تردید قرار می‌گیرد (محمدی، 1382) و همچنین احتمال بروز خطای نوع اول (رد کردن فرض صفر زمانی که نباید رد شود) و نوع دوم (رد نکردن فرض صفر زمانی که باید رد شود) به شدت افزایش می‌یابد. این مسئله در مورد تحلیل‌های چند متغیری که نیازمند فرض نرمال بودن چند متغیری هستند اهمیت بیشتری پیدا می‌کند (کان و کو، 2002؛ زور و همکاران، 2007). اگر داده‌ها دارای توزیع نرمال باشند تخمین‌ها از دقت بالایی برخوردار خواهد بود. در غیر این صورت دقت تخمین‌ها کاهش خواهد یافت (محمدی، 1382). بنابراین در اغاز آزمون نرمال بودن داده‌ها انجام و دیده شد که از میان داده‌ها تنها  $m_{gr}$  توزیع نرمال داشت و برای دیگر فراسنجه‌ها تبدیل داده‌ها انجام شد. چگونگی دگرگونی متغیرهای غیرنرمال به حالت نرمال به این گونه بود که شن با معادله  $0/0016sand^2 + 0/1654sand$ ، رس با

داده‌های آموزش و آزمون جداگانه در جدول 1 نشان داده شده‌اند. این جدول شامل همه متغیرهایی است که مستقیماً اندازه‌گیری شده و یا از راه مدل‌های فراكتالی برآورده‌اند. متغیرهای وابسته به بافت خاک (درصد شن و رس) نشان‌دهنده سنگین تا میانه بودن خاک‌های بهره‌گیری شده در این پژوهش هستند. چرا که میانگین درصد ذرات شن در هر دو گروه آموزش و تعمیم کمتر از میانگین ذرات رس بود. نمونه‌های بهره‌گیری شده در این پژوهش از 12 کلاس بافتی، به جز 5 کلاس شنی، سیلتی، شن لومی، لوم شنی رسی و رسی شنی مابقی را پوشش داده‌اند. بیشتر فراسنجه‌های بکار رفته در این پژوهش دارای دامنه تغییرات میانه‌ای می‌باشند که در بهره‌گیری از توابع ساخته شده باید مدنظر قرار گیرد. مقادیر کمینه و بیشینه داده‌ها در جدول 1 گویای آن است. در بیشتر موارد کمینه و بیشینه داده‌های آزمون در محدوده کمینه و بیشینه داده‌های آموزش بود و بر پایه آزمون  $t$  میان این دو گروه برای هیچ کدام از متغیرها ناهمانندی چشم‌گیری نداشتند (داده‌ها ارائه نشده است). بنابراین محدوده تغییرات و میانگین متغیرها برای مجموعه داده‌های آموزش و آزمون همانند است. آنگارو و همکاران (2005) نشان دادند که بهره‌گیری از توابع انتقالی در محدوده داده‌های بکار گرفته شده برای آموزش با درستی بیشتری همراه خواهد بود.

#### همبستگی میان فراسنجه‌ها و اجزای بافت خاک

همبستگی بعد فراكتالی توزیع اندازه دانه‌های خاک با درصد رس مثبت و چشم‌گیر و با درصد شن منفی و چشم‌گیر بود (نتایج ارائه نشده است). گزارش شده است که افزایش اندازه دانه‌ها و کاهش مقدار رس موجب کاهش ابعاد فراكتالی (تیلر و ویت کرفت، 1992) و کاهش نگهداری رطوبت (هیلیل، 1998) می‌گردد. بنابراین یک رابطه مستقیم میان بعد فراكتالی و نگهداری رطوبت وجود دارد.

#### همبستگی فراسنجه‌های فراكتالی با فراسنجه‌های منحنی نگهداری آب خاک مدل گرانولت و گرنت

در بررسی اولیه همبستگی خطی ساده چشم‌گیر میان فراسنجه‌های مدل منحنی نگهداری آب خاک گرانولت و گرنت با فراسنجه‌های فراكتالی و مدل توزیع اندازه دانه‌های فرلاند وجود نداشت. به این علت برای مطالعه دقیق‌تر رابطه غیرخطی این فراسنجه‌ها مورد بررسی قرار گرفت که نتایج در جدول 2 نشان داده شده است. همبستگی میان فراسنجه‌ها با اعمال روش‌های غیرخطی در بیشتر موارد بهبود یافته و چشم‌گیر بوده است. بهبود همبستگی‌ها با اعمال روش‌های غیرخطی نشان دهنده رابطه پیچیده میان فراسنجه‌های مدل منحنی

منحنی با SWRC اندازه‌گیری شده (که از برآشش مدل گرانولت و گرنت بر داده‌های تجربی به دست امده بود) سنجیده شد. این روند برای مقایسه SWRC تخمینی هر کدام از گام‌ها با SWRC اندازه‌گیری شده انجام شد.

#### معیارهای ارزیابی درستی

از آماره‌های پرشماری مانند ضریب تبیین<sup>1</sup> ( $R^2$ )، بهبود نسبی<sup>2</sup> (RI)، انتگرال ریشه میانگین مربعات خطای<sup>3</sup> (IRMSE) و انتگرال میانگین خطای<sup>4</sup> (IME) برای بررسی درستی و قابلیت اعتماد توابع انتقالی بهره‌گیری شد.

برای ارزیابی خطای کل توابع در هر گام پس از برآورده فراسنجه‌های مدل گرانولت و گرنت از آنها برای شبیه‌سازی کل منحنی نگهداری آب خاک بهره‌گیری شد. سپس منحنی شبیه‌سازی شده با منحنی اندازه‌گیری شده از راه آماره‌های زیر سنجیده شد (تیتجه و تاپکن هینریش، 1993).

$$IME = \frac{1}{b-a} \int_a^b (\theta_p - \theta_m) d \log |h| \quad (4)$$

$$IRMSE = \left[ \frac{1}{b-a} \int_a^b (\theta_p - \theta_m)^2 d \log |h| \right]^{1/2} \quad (5)$$

IRMSE ( $m^3 m^{-3}$ ) انتگرال میانگین خطای<sup>3</sup> ( $m^3 m^{-3}$ ) انتگرال ریشه میانگین مربعات خطای<sup>4</sup>, h پتانسیل ماتریک بر حسب  $\theta_p$  و  $\theta_m$  به ترتیب مقدار رطوبت برآورده شده با توابع انتقالی و مقدار رطوبت اندازه‌گیری شده می‌باشند. یادآور شود که انتگرال میانگین خطای<sup>3</sup> تواند دارای مقادیر مثبت و منفی باشد. بنابراین هر اندازه این اماره به صفر نزدیک باشد درستی برآشش بالاتر است. انتگرال ریشه میانگین مربعات خطای<sup>4</sup> تنها دارای مقادیر مثبت می‌باشد. هر چه میزان این اماره کمتر یعنی به صفر نزدیکتر باشد درستی برآشش بهتر خواهد بود.

بهبود نسبی با رابطه زیر سنجیده شد:

$$RI = \frac{IRMSE_1 - IRMSE_i}{IRMSE_1} \times 100 \quad i = 2, 3, 4 \quad (6)$$

انتگرال ریشه میانگین مربعات خطای<sup>3</sup>  $IRMSE_1$  انتگرال ریشه میانگین مربعات خطای<sup>4</sup>  $IRMSE_i$  دوم تا چهارم می‌باشند.

#### بحث و نتایج

ویژگی‌های اماری همه متغیرهایی که همانند برآورده برای ساخت توابع انتقالی منحنی نگهداری آب خاک در معادلات رگرسیونی وارد شدند؛ برای مجموعه

<sup>1</sup>. Coefficient of determination

<sup>2</sup>. Relative improvement

<sup>3</sup>. Integral root mean square error

<sup>4</sup>. Integral mean error

ها و دانه‌های خاک پی بردن و از این همانندی برای دگرگونی یکی به دیگری بهره‌گیری کردند. توزیع اندازه خاکدانه‌ها می‌تواند بر منحنی نگهداری آب خاک تأثیر داشته باشد (گوبیر و همکاران، 2003). هوانگ و پاورز (2003) نشان دادند که منحنی توزیع احتمال اندازه دانه‌ها و اندازه منافذ خاک که از منحنی توزیع اندازه دانه‌ها بدست آمده کاملاً همسان هستند. هاورکمب و پارلانگ (1986) برآورد منحنی نگهداری آب خاک را برپایه همانندی ریخت منحنی توزیع اندازه دانه‌ها با منحنی نگهداری آب خاک پایه‌ریزی نمودند. اسخاپ و بوتن (1996) گزارش کردند که بهره‌گیری از فراسنجه‌های منحنی توزیع اندازه دانه‌ها به جای اجزای توزیع اندازه دانه‌ها (رس، شن و سیلت) در برآورد رطوبت و مکش‌های گوناگون سودمندتر است.

بيان توزیع اندازه دانه‌های خاک با یک فراسنجه جداگانه که شاخصی از فرم و ماهیت منحنی مربوطه باشد پیوسته مورد علاقه خاک‌شناسان بوده است. تقریباً در همه توابع انتقالی از توزیع اندازه دانه‌ها و یا فراسنجه‌های بدست آمده از آن بهره‌گیری شده است (پاچپسکی و همکاران، 1998؛ پاچپسکی و راولز، 1999). برخی پژوهشگران نیز تنها از توزیع اندازه دانه‌ها همانند ورودی بهره‌گیری کردند (سپاسخواه و تافته، 2011).

مقایسه توابع انتقالی که در آنها از فراسنجه‌های توزیع اندازه دانه‌ها بهره‌گیری شده بود نشان می‌دهد که تابع انتقالی که از فراسنجه‌های فراکتالی (PTF2) برای برآورد SWRC بهره‌گیری نموده‌اند، علی‌رغم داشتن شمار کمتر فراسنجه (سه فراسنجه) نتیجه بهتری را نسبت به تابع انتقالی چهارم (PTF4) که از فراسنجه‌های مدل توزیع اندازه دانه‌ها فردا لند و همکاران (2000) با چهار فراسنجه بهره‌گیری کرده بود، ساختند (جدول 3 و شکل 2). از این یافته می‌توان چنین برداشت کرد که توزیع اندازه دانه‌ها و منافذ هر دو ماهیت فراکتالی دارند و بهره‌گیری از فراسنجه‌های مدل فردا لند و همکاران (2000) علی‌رغم شمار فراسنجه‌های بیشتر در برآورد SWRC پیروزمند نبود. نظریه فراکتال از مهمترین روش‌های برآورده بوده برای مدلسازی ویژگی‌های ساختمان خاک می‌باشد (هوانگ و همکاران، 2001). هندسه فراکتال ابزار شایسته‌ای برای بیان ساختمان خاک و ویژگی‌های هیدرولیکی خاک است (بیوی و همکاران، 1998). تلاش‌های پرشماری جهت وابسته کردن ویژگی‌های هیدرولیکی خاک به مدل‌های فراکتالی انجام گرفته است.

ازفودن فراسنجه‌های فراکتالی تعمیم‌پذیری و قابلیت اعتماد PTF‌ها را افزایش داده است (جدول 3 و

نگهداری آب خاک با فراسنجه‌های فراکتالی و مدل توزیع اندازه دانه‌های فردا لند می‌باشد. احتمالاً یکی از دلایل وجود همبستگی میان فراسنجه‌های فراکتالی توزیع اندازه دانه‌ها و فراسنجه‌های شکل منحنی نگهداری آب خاک، همانندی منحنی دانه‌بندی با منحنی نگهداری آب خاک (آریا و پاریس، 1981؛ هوانگ و پاورز، 2003) باشد. ذو دو و دانگ (2004) نیز گزارش کردند که توزیع اندازه دانه‌ها دارای بعد فراکتالی یکسان با توزیع اندازه منافذ می‌باشد. البته در برخی موارد نیز همبستگی‌ها ضعیف بود. چون همه متغیرهای مورد بررسی مستقیماً با پارامترهای مدل گرانولت و گرنت (2004) مرتبط نیستند، که این نتیجه خیلی دور از انتظار نیست. چرا که نتیجه مشابهی توسط وریکن و همکاران (1989) برای رابطه بین خصوصیات خاک و پارامترهای معادله بکار رفته (مثل ون گنوختن) گزارش شده است.

### برآورد مدل گرانولت و گرنت به کمک روش رگرسیون خطی

از این به بعد از PTF1 تا PTF4 برای نشان دادن گام‌های یک تا چهار بهره‌گیری خواهد شد. مقایسه توابع انتقالی ساخته شده در چهار گام به کمک رگرسیون خطی نشان داد که سه تابعی که در آنها از فراسنجه‌های منحنی توزیع اندازه دانه‌ها (PTF2 و PTF4) و خاکدانه‌های ریز (PTF3) بهره‌گیری شده بود؛ برآورد بهتری را از منحنی نگهداری آب خاک نسبت به تابعی که در آن تنها از شن، رس و جرم مخصوص ظاهری بهره‌گیری شده بود (PTF1)، ساختند (جدول 3). در شکل 2 نیز منحنی‌های بهدهست آمده از PTF4 تا PTF1 با منحنی اندازه‌گیری شده برای دو خاک در مرحله آموزش (شکل 2 الف و ب) و دو خاک در مرحله آزمون (شکل 2 ج و د) مورد مقایسه قرار گرفته است. نتایج ارائه شده در شکل 2 تاییدی بر نتایج جدول 3 می‌باشد.

برآورد منحنی نگهداری آب خاک از روی اجزای توزیع اندازه دانه‌ها با آریا و پاریس (1981) و آریا و همکاران، (1999a,b) نیز انجام شده است. برخی دیگر از پژوهشگران نیز (هوانگ و پاورز، 2003) با روش آریا و پاریس و به کمک مدل‌های غیرخطی توزیع اندازه دانه‌ها منحنی نگهداری آب خاک را برآورد نمودند و نتیجه‌گیری کردند که روابط غیرخطی توزیع اندازه دانه‌ها با توزیع اندازه منافذ بهتر از رابطه خطی آنها بوده و برآوردهای بهتری از ویژگی‌های هیدرولیکی را می‌سازند. بنابراین از نظر تئوری رابطه نزدیک میان توزیع اندازه دانه‌ها و منحنی نگهداری آب خاک است. هانگ و ژانگ (2005) به همانندی منحنی توزیع تجمعی منافذ، خاکدانه-

برآورد منحنی نگهداری آب خاک در مدل سازی بهره‌گیری کرد.

مدل‌های رگرسیون خطی که بهترین نتایج را ایجاد کرده بود به همراه ضرایب مربوطه در جدول ۴ ارائه شده است. لازم به ذکر است که در برخی موارد دقت توابع ایجاد شده چندان بالا نبود. توابع ایجاد شده در این تحقیق توابع پارامتریک می‌باشند. یکی از محدودیت‌های توابع پارامتریک این است که رطوبت خاک در پتانسیل‌های متفاوت توسط متغیرهای متفاوتی کنترل می‌شود و ممکن است این متغیرها مستقیماً با پارامترهای معادله بکار رفته برای منحنی رطوبتی مرتبط نباشند (وریکن و همکاران، 1989؛ شینوست و همکاران، 1997) که نتیجه آن پایین بودن دقت این توابع خواهد بود (تماسلا و همکاران، 2003). محققان دیگری از جمله وستن و همکاران (2001) نیز دقت پایینی را برای توابع پارامتریک گزارش کردند. آن‌ها  $R^2$  برابر با ۰/۲ را برای پارامتر  $a$  مدل ون‌گنوختن گزارش کردند.

البته لازم به ذکر است که نتایج ضعیف PTF1 تا حدی قابل انتظار بود. چون در آن تنها از شن، رس و جرم مخصوص ظاهری به عنوان تخمین‌گر بهره‌گیری شده بود.

### نتیجه‌گیری

بهره‌گیری از فراسنجه‌های فراکتالی و غیر فراکتالی توزیع اندازه دانه‌ها موجب کاهش خطای برآورد منحنی نگهداری آب خاک گردید. ولی فراسنجه‌های فراکتالی از این نظر مؤثرتر بودند. تاثیر فراسنجه‌های فراکتالی توزیع اندازه خاکدانه‌های ریز در هر دو گام تعمیم و آموزش بر برآورد فراسنجه‌های مدل گرانولت و گرنت چشم گیر بود و مایه افزایش درستی، دقت و قابلیت اعتماد توابع گردیدند. چرا که فراسنجه‌های فراکتالی به گونه کارآمدی می‌توانند بافت و ساختمان خاک را کمی کنند. روی هم‌رفته بهره‌گیری از فراسنجه‌های فراکتالی توزیع اندازه خاکدانه‌های ریز با نبود فراسنجه‌های فراکتالی توزیع اندازه دانه‌ها در برآورد منحنی نگهداری آب خاک سودمند می‌باشد. از این یافته می‌توان چنین برداشت کرد که توزیع اندازه دانه‌ها و خاکدانه‌های ریز هر دو ماهیت فراکتالی دارند. همچنین بهتر است برآورد SWRC بر پایه مقایسه دو منحنی برآورده و اندازه‌گیری شده انجام گیرد. با توجه به بهبود درستی و قابلیت اعتماد برآورده ویژگی‌های هیدرولیکی به کمک فراسنجه‌های فراکتالی توزیع اندازه دانه‌ها و توزیع اندازه خاکدانه‌های ریز پیشنهاد می‌شود که تأثیر این فراسنجه‌ها بر برآورده ویژگی‌های هیدرولیکی در دیگر

شكل ۲) که جنبه مهمی از قابلیت کاربرد توابع انتقالی می‌باشد (دوود و ساراک، 1994).

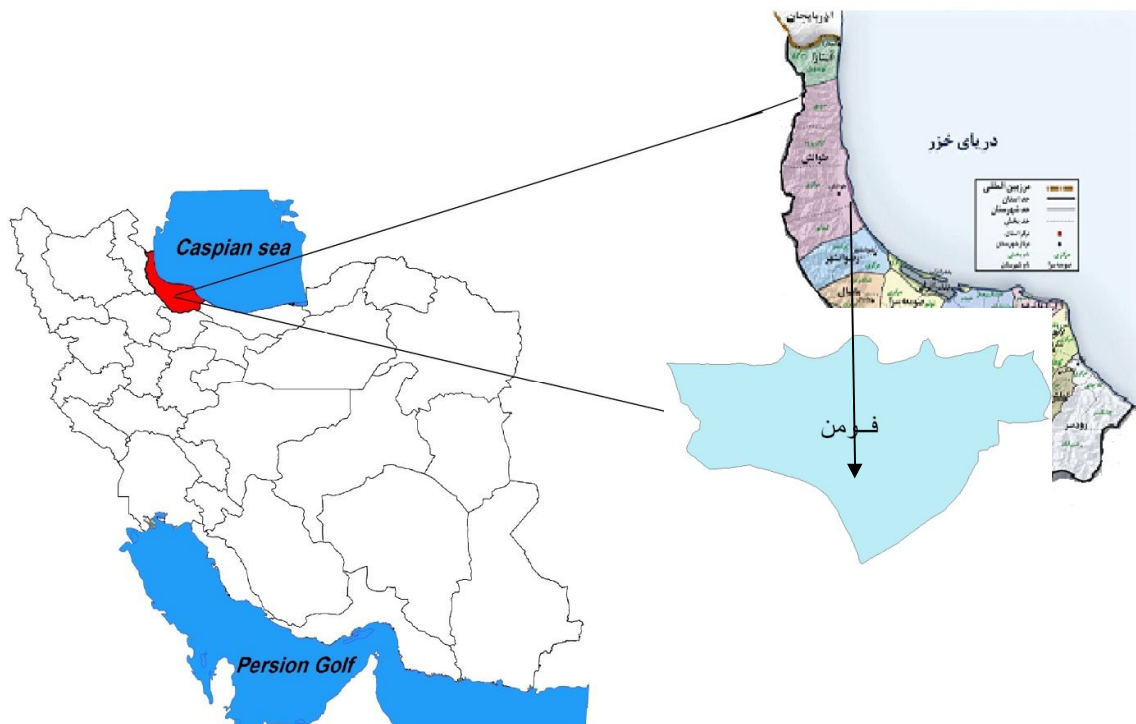
تیلر و ویت کرفت (1992) و دیگر پژوهشگران (ریو و اسپوزیتو، 1991؛ کروفورد و همکاران، 1995) نیز رابطه نزدیک مدل‌های فراکتالی با منحنی نگهداری آب خاک را نشان داده و مدل‌های منحنی نگهداری آب خاک را بسط دادند. هانت و گی (2002) از تحلیل فراکتالی بهره‌گیری کرده و از روی توزیع اندازه دانه‌ها منحنی نگهداری آب خاک را بسط دادند.

در این پژوهش از فراسنجه‌های فراکتالی توزیع اندازه دانه‌ها (PTF2) و توزیع اندازه خاکدانه‌های ریز (PTF3) به گونه جداگانه برای ساخت توابع انتقالی بهره‌گیری شد که سنجش و آزمون این دو تابع انتقالی، برآورد بهتر منحنی نگهداری آب خاک را با مدل توزیع اندازه دانه‌ها نشان داد (جدول ۳ و شکل ۲). همان گونه که در روش پژوهش یادآور شد برای برآورد منحنی نگهداری آب خاک در آغاز فراسنجه‌های مدل گرانولت و گرنت برآورد شدند و سپس از این فراسنجه‌ها در برآورد منحنی نگهداری آب خاک بهره‌گیری گردید. در برآورد هر یک از فراسنجه‌های مدل گرانولت و گرنت، بهره‌گیری از فراسنجه‌های فراکتالی توزیع اندازه خاکدانه‌های ریز نسبت به فراسنجه‌های فراکتالی توزیع اندازه دانه‌ها برآورد بهتری را بدست دادند (داده‌ها ارائه نشده است؛ اما هنگامی که از این فراسنجه‌ها در مدل گرانولت و گرنت برای برآورد منحنی نگهداری آب خاک بهره‌گیری و نتایج با منحنی اندازه‌گیری شده آزمون شد، آشکار گردید که توابعی که در آنها از فراسنجه‌های فراکتالی توزیع اندازه خاکدانه‌های ریز بهره‌گیری شده بود نسبت به فراسنجه‌های توزیع اندازه دانه‌های خاک در برآورد SWRC درستی کمتری را داشتند. این یافته نشان می‌دهد که در فرایند بهینه‌سازی در برآورد SWRC از تابع هدفی بهره‌گیری شود که ناهمانندی دو منحنی برآورده و اندازه‌گیری شده را به کمترین اندازه برساند، نه ناهمانندی فراسنجه‌های برآورده و اندازه‌گیری شده را. چرا که هدف برآورد رطوبت در مکش‌های گوناگون است نه برآورد فراسنجه‌ها. بنابراین بهتر است که برآوردها به گونه‌ای باشد که ناهمانندی رطوبت اندازه‌گیری شده و برآورده کمترین باشند (میناسنی و مکبراتنی، 2002).

یافته‌ها نشان می‌دهند که به علت همانندی منحنی توزیع تجمعی منافذ، خاکدانه‌ها و دانه‌های خاک و اثری که این مشخصه‌ها بر نگهداری آب در خاک دارند؛ می‌توان از بعد فراکتالی توزیع‌های فوق که شاخصی از اندازه خود همانندی در این مشخصه‌ها می‌باشد برای

و از فراسنجه‌های آنها در برآورده ویژگی‌های هیدرولیکی خاک با روش‌های دیگر بهره‌گیری شود.

نقاط جهان بررسی شود. همچنین رفتار فراکتالی توزیع اندازه دانه‌ها و توزیع اندازه خاکدانه‌های ریز بررسی شده



شکل ۱ - موقعیت جغرافیایی منطقه مورد مطالعه

جدول ۱- ویژگی‌های آماری مجموعه داده‌های آموزش و آزمون

Sand (%)	Clay (%)	BD (gcm <sup>-3</sup> )	ap	Dp	Lp	aa	Da	La	a <sub>gr</sub>	n <sub>gr</sub>	m <sub>gr</sub>	d <sub>rgr</sub>	K <sub>1</sub>	K <sub>0</sub>	n
آموزش															
16/77	32/85	1/28	0/79	2/86	0/79	1/17	2/81	1/17	0/04	1/36	0/84	134	6/13	634	3/11
10/87	11/41	0/23	0/09	0/04	0/09	0/21	0/06	0/21	0/06	0/44	0/27	176	18/4	1128	1/75
1	13	0/86	0/63	2/73	0/62	0/65	2/6	0/65	0/01	0/8	0/31	8/83	0/39	7/4	0/27
59	56	1/7	1/22	2/93	1/22	2/09	2/9	2/90	0/43	2/89	1/81	752	86	4848	6/05
آزمون															
15/23	32/91	1/27	1/16	2/84	1/16	0/78	2/86	0/77	0/03	1/44	0/81	93	23/34	342	2/27
8/94	11/61	0/28	0/17	0/08	1/18	0/07	0/04	0/07	0/02	0/46	0/28	117	38/46	1025	1/68
1	14	0/73	0/96	2/68	0/92	0/63	2/77	0/63	0/01	0/81	0/32	7/77	0/49	9/74	0/31
36	58	1/7	1/6	2/93	1/6	0/91	2/93	0/91	0/08	2/47	1/48	546	105	4748	5/85

Sand: درصد شن، Clay: درصد رس، BD: جرم مخصوص ظاهری، ap: نسبت همانندی توزیع اندازه دانه‌ها، Dp: بعد فراکتالی توزیع اندازه دانه‌ها،

Lp: ثابت تجربی مدل توزیع اندازه دانه‌ها، aa: نسبت همانندی توزیع اندازه خاکدانه‌های ریز، Da: بعد فراکتالی توزیع اندازه خاکدانه‌های ریز، La:

ثابت تجربی مدل توزیع اندازه خاکدانه‌های ریز، a<sub>gr</sub>: اولین نقطه شکست منحنی در مدل فردلاند، n<sub>gr</sub>: تندترین شیب منحنی در مدل فردلاند، m<sub>gr</sub>:

فراسنجه شکل منحنی در قسمت پایین در مدل فردلاند، d<sub>rgr</sub>: مقدار ذرات ریز در مدل فردلاند (در اکثر موارد برابر 0/001 می‌باشد)، K<sub>1</sub>, K<sub>0</sub> و n:

فراسنجه‌های برازشی مدل گرانولوالت و گرنت را نشان می‌دهند.

جدول 2- همبستگی غیرخطی متغیرها با فراسنجه‌های مدل منحنی نگهداری آب خاک

فراسنجه <sup>a</sup>	نوع معادله	فرمول معادله	R	فراسنجه <sup>a</sup>	نوع معادله	فرمول معادله	R
$ap-K_1$	Power	$K_1 = 6/9841 ap^{-2/1362}$	-0/408	$La-K_1$	Exp	$K_1 = 26/9949 e^{-0.8462 La}$	-0/374
$ap-K_0$	Exp	$K_0 = 522/2e^{0.0423 ap}$	+0/439 <sup>**</sup>	$La-K_0$	Exp	$K_0 = 2927/6e^{-1/1.289 La}$	-0/535 <sup>**</sup>
$ap-n$	Exp	$n = 2/8840 e^{-0.0204 ap}$	-0/851 <sup>**</sup>	$La-n$	Exp	$n = 5/1178 e^{-0.3732 La}$	-0/884 <sup>**</sup>
$Dp-K_1$	Exp	$K_1 = 1/49 \times 10^{-16} e^{13/4256 Dp}$	+0/41 <sup>**</sup>	$a_{gr}K_1$	Power	$K_1 = 4/6918 a_{gr}^{-0.2545}$	-0/4 <sup>**</sup>
$Dp-K_0$	Exp	$K_0 = 1207524 e^{-2/6932 Dp}$	-0/44 <sup>**</sup>	$a_{gr}K_0$	Exp	$K_0 = 607/6e^{-3/4132 agr}$	-0/446 <sup>**</sup>
$Dp-n$	Exp	$n = 104/7 e^{-1/261 p}$	-0/853 <sup>**</sup>	$a_{gr}-n$	Exp	$n = 2/9673 e^{-1/2231 agr}$	-0/852 <sup>**</sup>
$Lp-K_1$	Power	$K_1 = 6/9794 Lp^{-2/311}$	-0/407 <sup>**</sup>	$n_{gr}K_1$	Exp	$K_1 = 7/5388 e^{-0.3181 ngr}$	-0/4 <sup>**</sup>
$LpK_0$	Exp	$K_0 = 523/9 e^{0.0384 Lp}$	+0/439 <sup>**</sup>	$n_{gr}K_0$	Power	$K_0 = 504/1 ngr^{0.195}$	+0/443 <sup>**</sup>
$Lp-n$	Power	$n = 2/8578 Lp^{0.0285}$	+0/851 <sup>**</sup>	$n_{gr}-n$	Power	$n = 2/7854 ngr^{0.0633}$	+0/85 <sup>**</sup>
$aa-K_1$	Exp	$K_1 = 26/7963 e^{-0.8392 Lp}$	-0/374 <sup>**</sup>	$m_{gr}K_1$	Power	$K_1 = 5/4309 mgr^{-1.7938}$	-0/468 <sup>**</sup>
$aa-K_0$	Exp	$K_0 = 2597 e^{-1/0.214 aa}$	-0/539 <sup>**</sup>	$m_{gr}K_0$	Power	$K_0 = 6/919 mgr^{0.6902}$	+0/456 <sup>**</sup>
$aa-n$	Exp	$n = 5/2217 e^{0.3901 aa}$	+0/442 <sup>**</sup>	$m_{gr}-n$	Power	$n = 3/0659 mgr^{0.3581}$	+0/857 <sup>**</sup>
$Da-K_1$	Exp	$K_1 = 3/04 \times 10^{-12} e^{10/0.93 Da}$	+0/197 <sup>~</sup>	$d_{agr}K_1$	Power	$K_1 = 5/2114 d_{agr}^{0.1945}$	+0/408 <sup>**</sup>
$Da-K_0$	Power	$K_0 = 824/2 Da^{0.0311}$	-0/528 <sup>**</sup>	$d_{agr}K_0$	Exp	$K_0 = 649/4 e^{0.00181 drgr}$	+0/453 <sup>**</sup>
$Da-n$	Power	$n = 217/3 Da^{-0.0405}$	-0/886 <sup>**</sup>	$d_{agr}-n$	Power	$n = 3/2206 d_{agr}^{-0.0371}$	-0/851 <sup>**</sup>

<sup>a</sup>. همه فراسنجه‌ها در ذیل جدول 1 معرفی شده‌اند.

\* و \*\* به ترتیب نشان دهنده چشم‌گیری در سطح 5٪ و 1٪ می‌باشند.

جدول 3- نتایج آماره‌های برآورد منحنی نگهداری آب خاک مدل گرانولت و گرنت به کمک روش رگرسیون خطی در توابع انتقالی ساخته شده در گام‌های چهار گانه

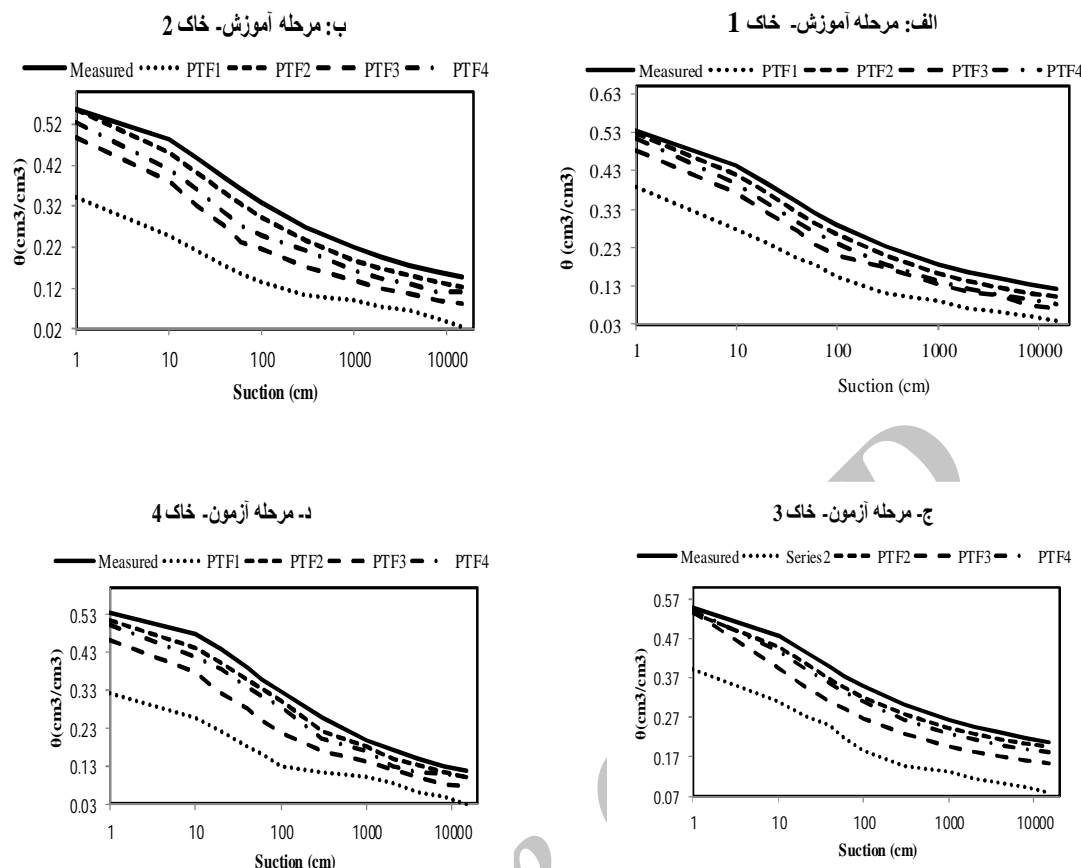
IME	IRMSE	R <sup>2</sup>	RI
<u>آموزش (رگرسیون خطی)</u>			
1 گام	18/65	37/07 <sup>a</sup>	0/219
2 گام	-1/14	1/35 <sup>b</sup>	0/533
3 گام	0/97	1/9 <sup>b</sup>	0/417
4 گام	-0/51	1/59 <sup>b</sup>	0/665
<u>آزمون (رگرسیون خطی)</u>			
1 گام	25/81	34/42 <sup>a</sup>	0/215
2 گام	-2/34	2/94 <sup>b</sup>	0/279
3 گام	-4/2	5/27 <sup>b</sup>	0/243
4 گام	-1/66	3/04 <sup>b</sup>	0/639

\* وجود یک حرف مشترک نشان دهنده عدم وجود تفاوت معنی‌دار بین گام‌ها می‌باشد.

جدول 4- مدل‌های رگرسیون خطی برازش شده و ضرایب آنها

مدل	a	b	c	d	e	f	g	h
$K_1$	=a×sand+b×clay+c×BD+d	25/795	29/6902	4/5495	-29/3916			
$K_0$	=a×sand+b×clay+c×BD+d	-0/2264	-0/2962	0/0994	0/1230			
n	=a×sand+b×clay+c×BD+d	-0/2592	-0/3983	0/0214	0/1783			
$K_1$	=a×sand+b×clay+c×BD+d×ap+e×Dp+f×Lp+g	0/4559	0/3416	-0/2196	3/4953	0/1544	-3/5975	-0/1421
$K_0$	=a×sand+b×clay+c×BD+d×ap+e×Dp+f×Lp+g	-0/8032	-1/1478	0/1200	-3/5833	1/0551	4/4600	0/1528
n	=a×sand+b×clay+c×BD+d×ap+e×Dp+f×Lp+g	-0/8815	-1/0198	0/0491	-3/9040	0/6975	4/6822	0/2277
$K_1$	=a×sand+b×clay+c×BD+d×qa+e×Da+f×La+g	0/3465	0/6066	-0/0117	0/7030	0/0849	-0/6914	-0/1685
$K_0$	=a×sand+b×clay+c×BD+d×qa+e×Da+f×La+g	0/1246	-0/4760	-0/0772	-2/2832	0/07779	2/2635	0/4242
n	=a×sand+b×clay+c×BD+d×qa+e×Da+f×La+g	0/1182	-0/5341	-0/0776	-2/0482	0/1469	2/1008	0/4772
$K_1$	=a×sand+b×clay+c×BD+d×a <sub>rg</sub> +e×n <sub>rg</sub> +f×m <sub>rg</sub> +g×d <sub>agr</sub> +h	0/6228	-0/2484	-0/2990	-0/8520	0/0037	-0/5530	-0/2469
$K_0$	=a×sand+b×clay+c×BD+d×a <sub>rg</sub> +e×n <sub>rg</sub> +f×m <sub>rg</sub> +g×d <sub>agr</sub> +h	-0/6408	0/1661	0/1841	0/8477	0/0646	0/5158	-0/0945
n	=a×sand+b×clay+c×BD+d×a <sub>rg</sub> +e×n <sub>rg</sub> +f×m <sub>rg</sub> +g×d <sub>agr</sub> +h	-0/6863	-0/2470	0/0836	0/6463	-0/1233	0/2470	-0/0712

<sup>a</sup>. همه فراسنجه‌ها در ذیل جدول 1 معرفی شده‌اند.



شکل 2- نمودارهای مربوط به مقادیر اندازه‌گیری شده و تخمین زده شده در گام‌های چهارگانه برای دو نمونه خاک در مرحله آموزش (الف و ب) و دو نمونه خاک در مرحله آزمون (ج و د).

#### فهرست منابع:

1. خداوردی‌لو، ح. و همایی، م. 1381. اشتراق توابع انتقالی خاک به منظور برآورد منحنی مشخصه رطوبتی. مجله تحقیقات مهندسی کشاورزی. 35-46(10)
2. رضایی، ع. و نیشابوری، م. ر. 1378. تعیین منحنی مشخصه آب خاک با استفاده از منحنی توزیع اندازه ذرات و جرم مخصوص ظاهری خاک. ششمین کنگره علوم خاک ایران. مشهد. ص 307-306
3. شیرین فکر، ا. 1388. استفاده از مدل‌های همدماجذب سطحی فسفر و ارتباط آن با خاکهای اسیدی با غلهای چای. گزارش نهایی. مرکز اطلاعات و مدارک علمی سازمان تحقیقات، آموزش و ترویج کشاورزی. ص 52-1
4. محمدی ج، ۱۳۸۲. پدومتری- جلد اول: آمار کلاسیک. 531 صفحه.
5. محمدی ج، و رئیسی گهروی، ف. ۱۳۸۲. توصیف فراکتالی اثرات فرق دراز مدت و چرای مفرط بر الگوی تغییرات مکانی شماری از ویژگی‌های شیمیائی خاک. علوم و فنون کشاورزی و منابع طبیعی، 4: 25-37.
6. Anderson, A. N., McBratney, A. B. and FitzPatrick, E. A., 1996. Soil mass, surface, and spectral fractal dimensions estimated from thin section photographs. Soil Sci. Soc. Am. J. 60: 962-969.

7. Anderson, A. N., McBratney, A. B and Crawford, W. J., 1998. Application of fractals to soil studies. *Adv. Agron.* 63:1-76.
8. Arya, L. M. and Paris, J. F, 1981. A physicoempirical model to predict the soil moisture characteristic from particle size distribution and bulk density data. *Soil. Sci. Soc. Am. J.* 45: 1023-1030.
9. Arya, L.M., Leij, F.J., Van Genuchten, M.Th. and Shouse, P.J. 1999a. Scaling parameter to predict the soil water characteristic from particle size distribution. *Soil Sci. Soc. Am. J.* 63: 510-519.
10. Arya, L.M., Leij, F.J., Van Genuchten, M.Th. and Shouse, P.J. 1999b. Relation between hydraulic conductivity function and the particle- size distribution. *Soil Sci. Soc. Am. J.* 63: 1063-1070.
11. Bavaye, P., Parlange, J.Y. and Stewart, B.A. 1998. Fractal in soil science. *Advances in soil science*. CRC Press, Boc Raton, FL.
12. Bayat, H., Neyshbouri, M. R., Mahboubi, A. A., Mosadeghi, M.R. (2008) "Prediction of penetration resistance using artificial neural network and comparison with linear and nonlinear regression model". *Turkish journal Agriculture and Forestry*. 32, 425-433.
13. Bird, N.R.A., Bartoli, F. and Dexter, A.R. 1996. Water retention models for fractal soil structures. *Eur. J. Soil Sci.* 47: 1-6.
14. Brooks, R.H. and Corey, A. T. 1964. Hydraulic properties of porous media. *Hydrology Paper no. 3*. Colorado State Univ, fort Collins, Co. USA.
15. Crawford, J. W., Sleeman, B.D. and Young, I.M. 1993. On the relation between number size distribution and fractal dimension of aggregates. *J. Soil Sci.* 44:555-565.
16. Crawford, J. W., Matsui, N. and Young, I.M. 1995. The relation between the moisture release curve and the structure of soil. *Eur. J. Soil Sci.* 46: 369-375.
17. Dowd, P.A. and Sarac, c. 1994. A neural network approach to geostatistical simulation, *Mathematical geology*.26 (4):493-503.
18. Fooladmand, H.R., and Hadipour, S. 2011. Parametric pedotransfer functions of a simple linear scale model for soil moisture retention curve. *African Journal of Agricultural Research*. 6(17): 4000-4004.
19. Fredlund, M.D., Fredlund, D.G., Ward Wilson, G. 2000. An equation to represent grain-size distribution. *Can.Geotech. J.* 37: 817-827.
20. Gardner W. 1956. Mathematics of isothermal water conduction in unsaturated soils. *Highway Research Board Special Report 40 International Symposium on Physico Chemical Phenomenon in Soils*. Washington DC. 78-87.
21. Groenevelt, P.H., Grant, C.D., 2004. A new model for the soil water retention curve that solves the problem of residual water contents. *Eur. J. Soil Sci.* 55: 479-485.
22. Gee, G.W., and Or, D. 2002. Particle-size Analysis In: Warren, A.D. (ed) *Methods os soil analysis*. Part 4. *Physical Methods*. *Soil Sci. Soc. Am. J.* pp: 255-295.
23. Grossman, R.B. and Reinsch, T.G. 2002. Bulk density and linear extensibility. In: Warren, A.D. (ed) *Methods of soil analysis*. Part 4. *Physical Methods* *Soil Sci. Soc. Am. J.* pp. 201-228.
24. Guber, A.K., Rawls, W.J., Shein, E.V. and Pachepsky, Y.A. 2003. Effect of soil aggregate size distribution on water retention. *Soil Sci.* 168: 223-233.
25. Gupta, S.C and Larson, W.E. 1979a. Estimating soil water retension characteristic from particle size distribution, organic matter percent, and bulk density. *Water Resour. Res.* 15:1633-1635.
26. Havercamp, R. and Parlange, J.Y. 1986. Prediction retention curve from particle size distribution, I. Sandy soils without organic matter. *Soil Sci.* 142:325-339.
27. Hillel, D. 1998. *Environmental soil physics*. Academic Press, pp.771.

28. Haung, G.H. and Zhang, R. 2005. Evaluation of soil water retention curve with the pore-solid fractal model. *Geoderma*. 127:52-61.
29. Hunt, A.G. and Gee, G.W. 2002. Water retention of fractal soil models using continuum percolation theory: test of handford site soils. *Vadose Zone J.* 1:252-260.
30. Hwang, S.I. and Powers, S.E. 2003. Using particle-size distribution models to estimate soil hydraulic properties. *Soil Sci. Am. J.* 67: 1103-1112.
31. Khlosi, M., Cornelis, W. M., Douak, S., Van Genuchten, M. T., and Gabriel, D. 2008. Performance evaluation of models that describe the soil water retention curve between saturation and oven dryness. *Vadose Zone Journal*. 7: 87-96.
32. Koekkoek, E. J. W. and Bootink, H. 1999. Neural network models to predict soil-water retention. *Eur. J. Soil Sci.* 50:489-496.
33. Millan, H. and Orellana, R. 2001. Mass fractal dimensions of soil aggregates from different depths of a compacted vertisol. *Geoderma* 101: 65-76.
34. Minasny, B. and McBratney, A.B. 2002. The Neuro-m method for fitting neural network parametric pedotransfer functions. *Soil Sci. Soc. Am. J.* 66: 352-361.
35. Pachepsky, Y., Rawls, W., Gimenez, D. and Watt, J.P.C. 1998. Use of soil penetrationresistance and group method of data handling to improve soil water retention estimates. *Soil and Tillage Res.* 49: 117-126.
36. Pachepsky, Y. and rawls, W. 1999. Accuracy and redliability of pedotransfer functions as affected by grouping soils. *Soil Sci. Soc. Am. J.* 63:1748-1757.
37. Perrier, E., Bird, N., 2002. Modelling soil fragmentation: the PSFapproch. *Soil Tillage Res.* 64: 91-99.
38. Perrier, E., Bird, N., 2003. The PSF model of soil structure: a multiscale approach. In: Pachepsky, Ya., Radcliff, D.E., Selim, H.M. (Eds), scaling methods in soil physics. CRC Press, Boca Raton, FL, pp. 1-18.
39. Quinn, G. P. & Keough, M. J. 2002. Experimental Design and Data Analysis for Biologists. Cambridge University Press, Cambridge, UK.
40. Rawls, W. J., Brakensiek, D.L., 1985. Prediction of soil water properties for hydrologic modeling In: jones, E., Ward, T. J. (Eds).Watershed Manag. Eighties. Proceedig os Symposium ASCE, Denver, CO, 30April-2 May 1985 ASCE, New York, pp. 293-299
41. Riue, M. and Sposito, G. 1991. Fractal fragmentation, soil porosity and soil water properties. I. Theor. *Soil Sci. Soc. Am. J.* 55: 1231-1238.
42. Schaap, M.G. and Bouten, W. 1996. Modeling water retention curves of sandy soils using neural networks. *Water Resour. Res.* 32: 3033-3040.
43. Schaap, M.G., leij, F.J. and Van genuchten, M.Th. 1998.Neural network analysis for hierarchical prediction of soil hydraulic properties. *Soil Sci. Soc. Am. J.* 62: 847-855.
44. Scheinost, A.C., Sinowsi, W. and Auerswald, K. 1997. Regionalization of soil water retention curves in highly variable soilscape, I. Developing a new pedotransfer function. *Geoderma* 78: 129 – 143.
45. Schuh, W.M., Cline, R.L. and Sweeney, M.D. 1988. Comparison of laboratory procedure and a textural model for predicting in situ soil water retention. *Soil Sci. Soc. Am. J.* 52: 1218-1227.
46. Sepaskhah, A.R., Tafteh, A. 2011. Pedotransfer function for estimation of soil specific surface area using soil fractal dimention of improved particle size distribution. *Agronomy and Soil Science journal*.pp: 1-11
47. Tietje, O. and Tapkenhinrichs, M. 1993. Evalution of pedo-transfer function. *Soil Sci. Soc. Am. J.* 57: 1088-1095.
48. Tomasella, J., Pachepsky, Y., Crestana, S. and Rawls, W.J. 2003. Comparison of two techniques to develop pedotransfer functions for water retention. 67: 1085-1092.

49. Tyler, S.W. and Wheatcraft, S.W. 1990. Fractal Process in soil water retention. *Water Resour. Res.* 26:1047-1054.
50. Tyler, S.W. and Wheatcraft, S.W. 1992. Fractal Scaling of soil particle-size distribution: analysis and limitation. *Soil Sci. Soc. Am. J.* 56:362-369.
51. Ungaro, F., Calzolari, C. and Busano, E. 2005. Development of pedotransfer functions using a group method of data handeling for the soil of the PianuraPadano-Veneta region of north Italy: Water retention properties. *Geoderma*. 124:293-317.
52. Van Genuchten, M.Th. 1980. A closed-form equation for predicting the hydraulic conductivity of unsaturated soils. *Soil Sci. Soc. Am. J.* 44:892-898.
53. Vereecken, H., Maes, J., Feyen, J. and Darius, P. 1989. Estimating the soil moisture retention characteristics from texture, bulk density and carbon content. *Soil Sci.* 148:389–403.
54. Vereecken, H., Dielst, J., Van Orahoven, J., Feyen, J. and Bouma, J. 1992. Functional evalution of pedotransfer for the estimation of soil hydraulic properties. *Soil Sci. Soc. Am. J.* 56: 1371-1378.
55. Walczak, R., Witkowska-Walczak, B. and Stawinski, C. 2004. Pedotransfer studies in Poland. In Y. Pachepsky, and W. J. Rawls (Eds). *Development of pedotransfer functions in soil hyrology*. Elsevier, Boston, Heidelberg, London, pp. 449-462.
56. Walczak, R.T., Moreno, F., Stawinski, C., Fernande, E. and Arrue, J. L. 2006. Modeling of soil water retention curve using soil solid phase parameters. *J. Hydrol.* 329: 527-533.
57. Wosten, J.H.M., Pachepsky, Y. and Rawls, W.J. 2001. Pedotransfer functions: bridging the gap between available basic soil data and missing soil hydraulic characteristics. *J. Hydrol.* 251: 123-150.
58. Xu, Y.F. and Ping Dong. 2004. Fractal approach to hydraulic properties in unsaturated porous media. *Chaos, Solitions and Fractals*. 19: 327-337.
59. Young, I.M. and Crawford, J.W. 1991. The fractal structure of soil aggregates: its measurement and interpretation. *Soil Sci.* 42:187-192.
60. Young, I.M. and Crawford, J.W. and rappoldt, C. 2001. New method and models for characterizing structural heterogeneity of soil. *Soil and Tillage Res.* 61: 33-45.
61. Zuur, A. F., Ieno, E. N. & Smith, G. M. 2007. *Analysing ecological data*. Springer, New York.